

Les groupes de tresses sont linéaires

Victoria
LEBED,
juin 2015

$$B_n \xrightarrow[\text{gpe}]{\text{P}} GL_n(\mathbb{R})$$

1 De l'histoire

Pourquoi s'intéresser à / soupçonner la linéarité des B_n ?

✓ B_2 & B_3 sont linéaires.

\mathbb{Z} \uparrow via Burau (Magnus-Peluso '69)

✓ B_n sont "linéaires par morceaux" (Fathi-Laudenbach-Poenaru '79).

✓ B_4 linéaire $\Leftrightarrow \text{Aut}(F_2)$ l'est (Dyer-Formanek-Grossman '82).

⚠ $\text{Aut}(F_n)$ n'est pas linéaire pour $n \geq 3$ (Formanek-Procesi '92).

✓ Alternative de Tits pour B_n & tous les $\text{MCG}(\Sigma)$ (McCarthy '89, Ivanov '92).

\uparrow
 $\forall H \leq B_n$, • soit $H \cong F_2$
 • soit H virtuellement résoluble

Candidats pour ρ :

✓ Burau réduit: non-fidèle pour

• $n \geq 9$ Moody '91 \leadsto 88 croisements dans le contre-exemple

• $n \geq 6$ Long-Paton '93 \leadsto 76 cr.

• $n \geq 5$ Bigelow '99 \leadsto exemple trouvé par un ordinateur...

✓ reps de Jones '87: plus fidèles que Burau

✓ LKB (Lawrence '90) sont fidèles pour

• $n=4$ (Krammer '00)

• $\forall n$ (Bigelow '01, Krammer '02)

arguments: \uparrow top. \uparrow alg.

Points de vue sur LKB:

✓ homologique: Low '90 etc.

✓ Φ -les explicites: Kra '02

✓ via algèbres BMW: Zinno '01.

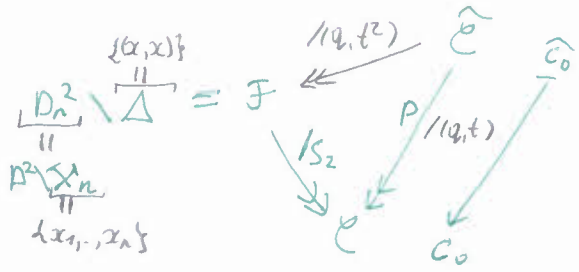
✓ via gpes quantiques: Jackson-Kerler '11

✓ $B_{n+1} \xrightarrow{\rho} GL_n(\mathbb{C})$ constructif $\rightarrow B_n \xrightarrow{\rho^+} GL(V^n)$: Long-Moody '94

\uparrow
 à la Magnus
 \uparrow
 \exists variante "auto-distributive"

rep. triviale \leadsto Burau \leadsto LKB

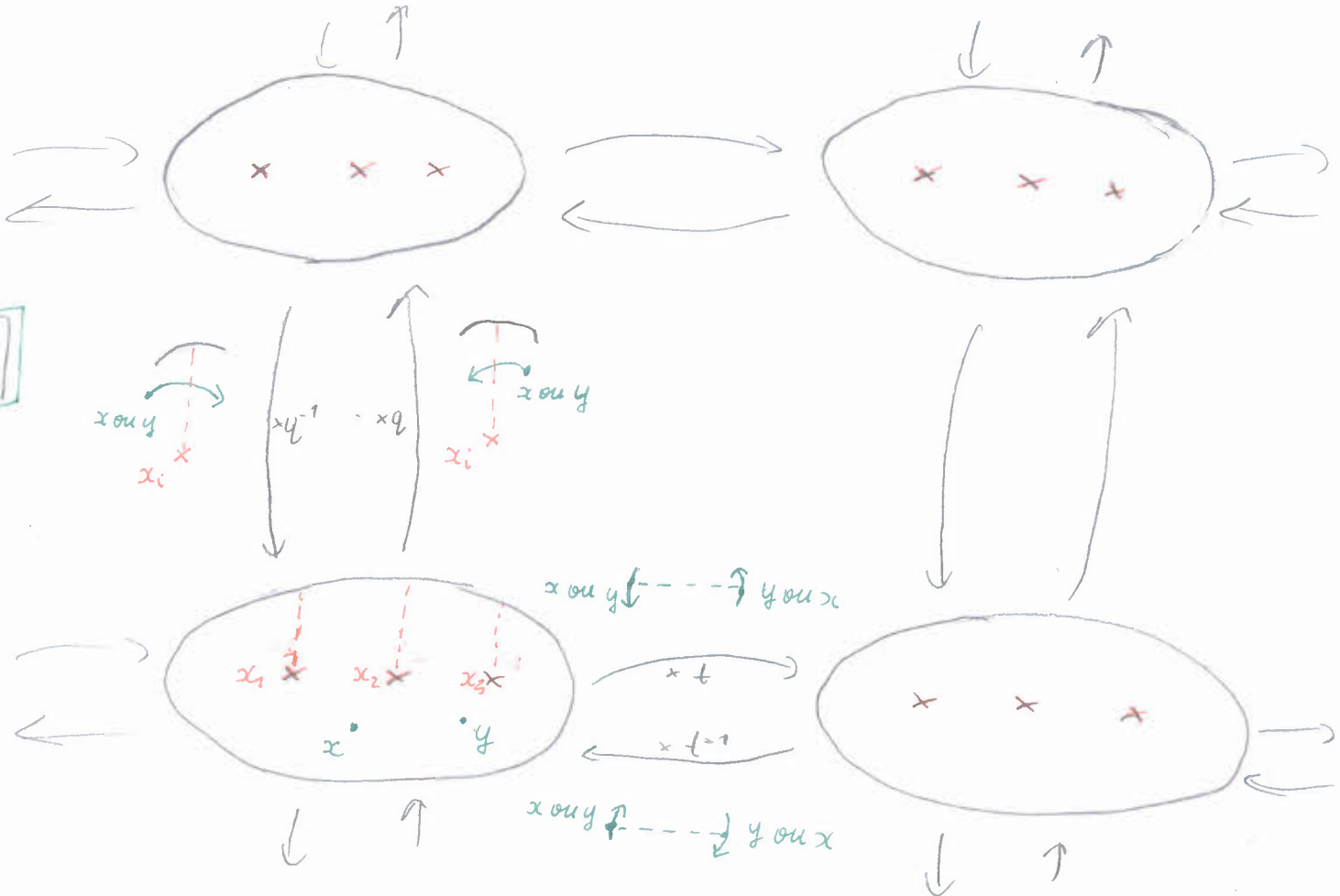
2) Rappels sur LKB



$$\varphi: \pi_1(\mathcal{E}, \widehat{C}_0) \rightarrow \mathbb{Z}^2$$

$$\text{Aut}(\rho) = \mathbb{Z}^2 = \langle q, t \rangle.$$

4-variétés non-compactes
connexes orientées à bord.



$$\mathcal{H} = H_2(\widehat{\mathcal{E}}; \mathbb{Z}) \in {}_{\Lambda} \text{Mod} \quad \Lambda = \mathbb{Z}\langle q^{\pm 1}, t^{\pm 1} \rangle$$

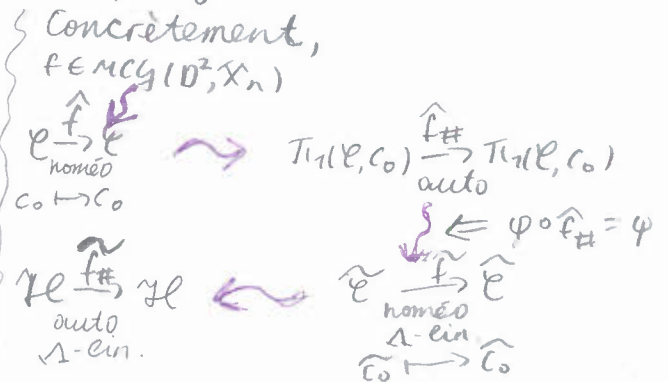
Thm 1: $\mathcal{H} \cong \Lambda^{\frac{n(n-1)}{2}}$ (Paoluzzi-Paris'01, Big'03).
à faire!

$$B_n \supset D_n \rightsquigarrow B_n \xrightarrow{L} \text{Aut}_{\Lambda}(\mathcal{H})$$

Amq: On peut écrire des matrices explicites pour L dans les bases du Thm 1.

Thm 2: L est injective.

à finir



3] Thm 2 \Rightarrow la linéarité des B_n

[a] Avec Thm 1 : $\Lambda = \mathbb{Z}[q^{\pm 1}, t^{\pm 1}] \hookrightarrow \mathbb{R}$

$q, t \mapsto$ nbs algébriquement indépendants

[b] sans Thm 1:

Lemme : $\Lambda \text{ Mod } \exists M \hookrightarrow \Lambda^N \Rightarrow \text{Aut}_{\Lambda} M \hookrightarrow GL_N(\mathbb{R})$.

□ Frac $\Lambda = \mathbb{Q}(q, t) =: \mathbb{Q}$

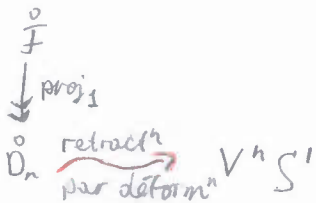
$\bar{M} := \mathbb{Q} \otimes M \hookrightarrow M$ (pas de torsion!)

$\text{Aut}_{\Lambda} M \hookrightarrow GL_{\dim_{\mathbb{Q}}(\bar{M})}(\mathbb{Q}) \hookrightarrow GL_m(\mathbb{R})$

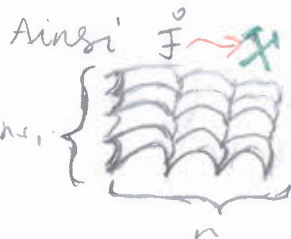
$\bar{M} \hookrightarrow \mathbb{Q} \otimes \Lambda^N = \mathbb{Q}^N \Rightarrow m \leq N$ \square

À montrer : $\mathcal{H} \hookrightarrow \Lambda_0^{n(n+1)}$, $\Lambda_0 = \mathbb{Z}[q^{\pm 1}, t^{\pm 2}] \hookrightarrow \Lambda$

□

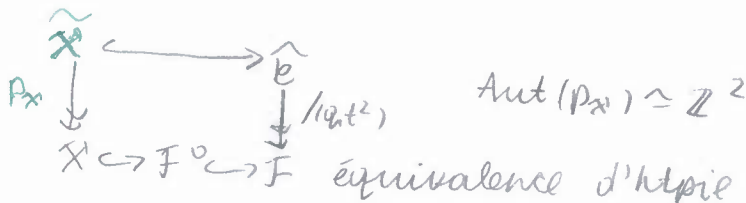


C'est un fibré localement trivial, de fibre $D_{n+1} \rightarrow V^{n+1} S^1$.



CW-complexe, avec produit d'un $(1, n)$ -complexe avec un $(1, n+1)$ -complexe

dim	# cellules
0	1
1	$\pm n + (n+1) \cdot 1 = 2n+1$
2	$n(n+1)$



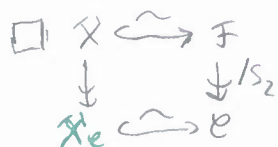
$H_*(\widehat{X}; \mathbb{Z}) : \Lambda_0^{n(n+1)} \xrightarrow{\partial_2} \Lambda_0^{2n+1} \xrightarrow{\partial_1} \Lambda_0$

$\mathcal{H} = H_2(\widehat{E}; \mathbb{Z}) = H_2(\widehat{X}; \mathbb{Z}) = \text{Ker } \partial_2 \hookrightarrow \Lambda_0^{n(n+1)}$
 $\Lambda_0 \text{ lin.}$ \square

Rmq: Lawrence travaille avec $\mathbb{F} \otimes \Lambda_0$ au lieu de $\mathbb{R} \otimes \Lambda$.

Avec un peu plus de travail, on a:

Prop: $\dim_{\mathbb{Q}} \mathbb{Q} \otimes_{\Lambda} \mathcal{H} = \frac{n(n-1)}{2}$



X_e :

dim	# cellules
0	1
1	$n+1$
2	$\frac{n(n+1)}{2}$

Biz'01: descriptⁿ explicite de \mathcal{X}_0 & \mathcal{E}
 Budney'02: interprétⁿ via de $H_*(\widehat{X}_e)$ la théorie de Morse \square

Rmq: D'après Kra'02, on peut dire plus: $B_n \hookrightarrow GL_{\frac{n(n+1)}{2}}(\mathbb{Z}[t^{\pm 1}])$

avec spécialisatⁿ
 $q = \sqrt{t} \in \mathbb{Z}[t^{\pm 1}]$

[4] sur la structure de \mathcal{H}

(a) Première estimation de la taille

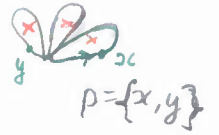
Notatⁿ: pour $M \in \Lambda_0 \text{ Mod}$, $\text{rk } M := \dim_{\mathcal{A}_0} \mathcal{A}_0 \otimes M$, $\mathcal{A}_0 = \mathbb{Q}(q, t^2)$.

On a $\text{rk } \mathcal{H} = \text{rk } H_1(\widehat{X}; \mathbb{Z}) + \text{rk } H_0(\widehat{X}; \mathbb{Z}) = \chi(X) = n(n-1)$;

d'où $\text{rk } \mathcal{H} \geq n(n-1)$.

Rmy: Thm 1 $\Rightarrow \mathcal{H} \cong \Lambda_0^{n(n-1)}$

$\begin{cases} 0 \leq [(1-q)p] = 0 \ \forall p \in \widehat{X} \\ \text{dans } \widehat{X} \exists \text{ un chemin } p \xrightarrow{f} q \cdot p \end{cases}$



(b) Une version relative de \mathcal{H} .

$\widehat{\mathcal{E}} \leftarrow \widehat{u}^\varepsilon$, q - et t -stable

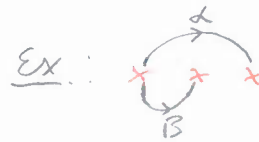
$\downarrow \quad \downarrow$

$\mathcal{E} \leftarrow u^\varepsilon = \{ \langle x, y \rangle \mid x, y \in D_n, |x-x_i| < \varepsilon \text{ ou } |y-x_j| < \varepsilon \text{ ou } |x-y| < \varepsilon \}$
 $= \{ \text{paires "}\varepsilon\text{-problématiques"} \}$

$\mathcal{H}^\varepsilon := H_2(\widehat{\mathcal{E}}, \widehat{u}) = \lim_{\varepsilon \rightarrow 0} H_2(\widehat{\mathcal{E}}, \widehat{u}^\varepsilon)$

$\mathcal{H}^\partial := H_2(\widehat{\mathcal{E}}, \partial \widehat{\mathcal{E}})$

$\mathcal{H}^{\varepsilon, \partial} := H_2(\widehat{\mathcal{E}}, \partial \widehat{\mathcal{E}} \cup \widehat{u}) = \lim_{\varepsilon \rightarrow 0} \dots$



Ex: $[x] \in \mathcal{H}_1^\varepsilon$

$[x \cdot B] \in \mathcal{H}^\varepsilon$

Notⁿ: On utilise les notns $\mathcal{H}_1, u, \mathcal{H}_1^\varepsilon$ etc. pour les constructions analogues pour l'espace de configurations d'un point dans D_n .

(c) Formes d'intersection

$\mathcal{H} \times \mathcal{H}^{\varepsilon, \partial}$ ou $\mathcal{H}^\varepsilon \times \mathcal{H}^\partial \xrightarrow{\langle, \rangle} \mathbb{Z}$

$$\langle x, y \rangle = \sum_{\alpha, \beta \in \mathbb{Z}} (q^\alpha t^\beta \langle x, y \rangle) q^\alpha t^\beta$$

nb algébrique d'intersection

• bien déf. (Kawachi '96)

• B_n -invariante

• Λ -sesquilinéaire: $\langle \lambda x, \lambda' y \rangle = \overline{\lambda} \lambda' \langle x, y \rangle$, $\lambda, \lambda' \in \Lambda$

$\overline{q} = q^{-1}, \overline{t} = t^{-1}$

• $\langle x, y \rangle = \overline{\langle y, x \rangle}$

• non-singulière: $\det \langle \cdot, \cdot \rangle \neq 0$

• une forme Hermitienne définie négative

pour une spécialisatⁿ $q_0, t_0 \in \mathbb{C}$

$\Rightarrow B_n \hookrightarrow U_{n(n-1)/2}$

} Budney '05

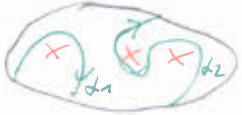
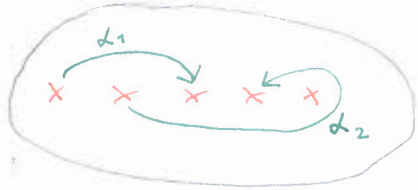
Qu. (François): crochet de Goldman?

d) Quelques éléments de $\mathcal{H}^{u, \partial}$ (Big'03)

$$d_1(U^0) \cap d_2(I^0) = \emptyset$$

$$\begin{array}{c} I \times I \xrightarrow{d_1 \times d_2} \tilde{\mathcal{C}} \\ \downarrow \\ \tilde{\Sigma}_{d_1, d_2} \in \mathcal{H}^u \\ \uparrow \text{"square"} \end{array}$$

(on travaille à $q^t \pm$ près)



$$\tilde{\Sigma}_{d_1, d_2} \in \mathcal{H}^{\partial}$$



$$\tilde{\Sigma}_{d_1, d_2} \in \mathcal{H}^{u, \partial}$$

$$\{0 < x < y < 1\} \xrightarrow{d_1 \times d_2} \tilde{\mathcal{C}}$$

$$\rightsquigarrow \tilde{T}_d \in \mathcal{H}^u \text{ ou } \mathcal{H}^{u, \partial} \\ \uparrow \text{triangle}$$

e) Quelques éléments de \mathcal{H} .



$$d_1 \cap d_2 = \emptyset = d_1' \cap d_2'$$

$$S^1 \times S^1 \xrightarrow{d_1' \times d_2'} \mathcal{C}$$

$$\pi_1(S^1 \times S^1) \in \text{Ker } \varphi.$$

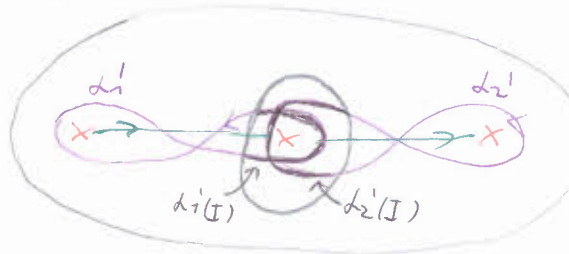
$$\begin{array}{c} \tilde{\Sigma}_{d_1', d_2'} \in \mathcal{H} \\ \uparrow \text{tore} \end{array}$$

modulo \tilde{u}

$$\tilde{d}_1' = (1-q) \tilde{d}_1$$

\downarrow

$$\tilde{\Sigma}_{d_1', d_2'} = (1-q)^2 \tilde{\Sigma}_{d_1, d_2}$$



$$d_1 \cap d_2 = \{x, y\}, d_1' \cap d_2' = \{2pts\} = (1-q)^2 \tilde{\Sigma}_{d_1, d_2}$$

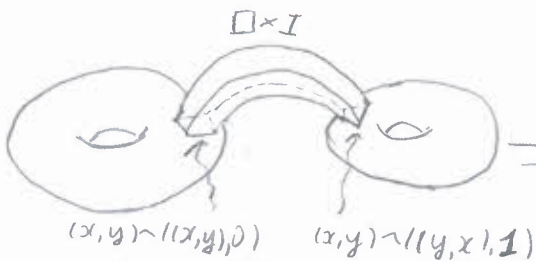
$$S^1 \times S^1 \setminus I \times I \xrightarrow{d_1' \times d_2'} \mathcal{C}$$



$$\partial \square = \square \xrightarrow{f_3} \mathcal{C}$$

$$f_0 = d_1' \times d_2' | \square, f_3 = \text{rot}_{3\pi} \circ f_0$$

$$f_1(x, y) = f_0(y, x) \Rightarrow f_1 = -f_0$$



$$\begin{array}{c} \Sigma^2 \longrightarrow \mathcal{C} \\ \pi_1(\Sigma^2) \subseteq \text{Ker } \varphi \end{array}$$

$$\begin{array}{c} \tilde{\Sigma}_{d_1', d_2'} \in \mathcal{H} \\ \downarrow \end{array}$$

$$\tilde{\Sigma}_{d_1', d_2'}^3 \in \mathcal{H}$$



$\times qt$

$$\tilde{\Sigma}_{d_1', d_2'}^2 = (1-q)^2 (1+qt) \tilde{\Sigma}_{d_1, d_2}$$

$$\tilde{\Sigma}_{d_1', d_2'}^3 = (1-q)^2 (1+qt)(1-t) \tilde{T}_d$$

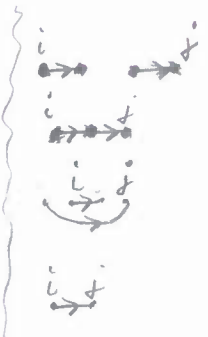
⊕ Une base de \mathcal{H}

$$x_i \xrightarrow{L_i} x_{i+1}$$

on verra: une base de \mathcal{H}

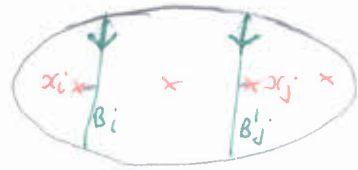
$$v_{i,j} := \begin{cases} \sum_{d_i, d_{j-1}}^1, & j-i > 2 \\ \sum_{d_i, d_{j-1}}^2, & (i,j) = (1,3) \\ \sum_{d_i, \dots}^1, & j-i = 2, i > 1 \\ \sum_{d_i}^3, & j-i = 1 \end{cases}$$

$v_{i,j} \in \mathcal{H}^u$
de la forme $\widehat{S}_{d,0}$ ou \widehat{T}_d ,
avec $v_{i,j} = \underbrace{P_{i,j}(q,t)}_{\text{polynôme mod. } \mathcal{U}} v'_{i,j}$

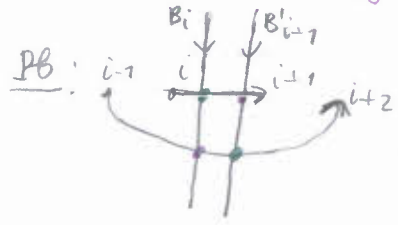


Rmq: Inspiratⁿ: théorie des reps des algèbres de Temperley-Lieb

$$x_{i,j} := \widehat{S}_{B_i, B'_j} \in \mathcal{H}^0$$



Lemme: $\langle v'_{i,j}, x_{i,j} \rangle \begin{cases} \in \mathbb{1}^* & \text{si } (i,j) = (i',j'), \text{ ou } j' = i+2 \text{ \& } j = i+1 \text{ \& } i \in \{i', i'-1\} \text{ \& } i' \neq j' \\ = 0 & \text{sinon} \end{cases}$



$$\langle v'_{i,i+2}, x_{i,i+1} \rangle = -(1+t)$$

(mais ceci n'invalidé pas ce qui suit)

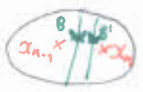
Cré: Les $v_{i,j}$ sont linéairement indépendants sur $\mathbb{Q} = \mathbb{Q}(q,t)$.

On a vu: $\dim_{\mathbb{Q}} \mathbb{Q} \otimes \mathcal{H} = \frac{n(n-1)}{2}$

Cré: Les $v_{i,j}, i < j$, forment une base de $\mathbb{Q} \otimes \mathcal{H}$.

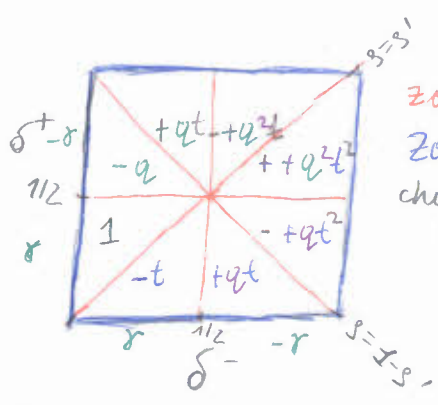
Lemme: $v = \sum c_{i,j} v_{i,j} \in \mathcal{H}, c_{i,j} \in \mathbb{Q} \Rightarrow c_{i,j} \in \mathbb{1}$.

□ • Lemme: $x_{n-1,n} = (1-q)(1+qt)(1-t) \widehat{T}_{\delta_n} \text{ mod. } \mathcal{U}$



□

$\mathbb{1} \times \mathbb{1} \xrightarrow{\delta \times \delta} \mathcal{U}$
t.q. $\forall s$, les 4 points $\delta^\pm(s), \delta^\pm(1-s)$ sont ε -proches



Zone rouge $\xrightarrow{\delta \times \delta} \mathcal{U}$
Zone bleue $\xrightarrow{\delta \times \delta} \widehat{\mathcal{C}}$
chaque triangle \rightarrow un multiple de \widehat{T}_{δ_n}

• Lemme: $x_{i,j} = (1-q)^2 x'_{i,j}$

• $n=3$: $\langle v_{2,3}, x_{2,3} \rangle = \frac{(1-q)^2 x'_{2,3}}{(1-q)(1+qt)(1-t) \widehat{T}_{\delta_n}} \Rightarrow$
 $\left. \begin{aligned} (1+qt)(1-t) c_{2,3} \in \mathbb{1} \\ (1-q) c_{2,3} \in \mathbb{1} \end{aligned} \right\} \Rightarrow c_{2,3} \in \mathbb{1};$
 $c_{1,2} \in \mathbb{1}$ par symétrie;
 $c_{1,3} \in \mathbb{1}$; calcul.

• $n \rightsquigarrow n+1$: récurrence □

5 Sur l'injectivité de L (preuve de Bigelow)

a) Les ingrédients de la preuve

• nouille $N \rightsquigarrow \Sigma N = T_N \rightsquigarrow \hat{\Sigma} N = \hat{T}_N \in \mathcal{H}^{n,2}$
 T_N triangle



• fourchette $F \rightsquigarrow \Sigma F = \int_{\text{carre}} (T(F), T(F')) \rightsquigarrow \hat{\Sigma} F = \hat{\Sigma}_{T(F), T(F')} \in \mathcal{H}^n$
seu. à seu. utiliser $H(F)$



à faire $\rightarrow \langle N, F \rangle := \langle \hat{\Sigma} N, \hat{\Sigma} F \rangle$, bien défini

• $\langle N, F \rangle$ invariant par isotopie

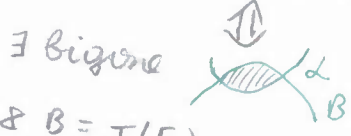
• Lemme clé: $\langle N, F \rangle = 0 \Leftrightarrow \exists F \rightsquigarrow \hat{F}$ t. q. $N \cap T(\hat{F}) = \emptyset$.

• Lemme général (Fathi et al. '79): \rightarrow élimination de bigones



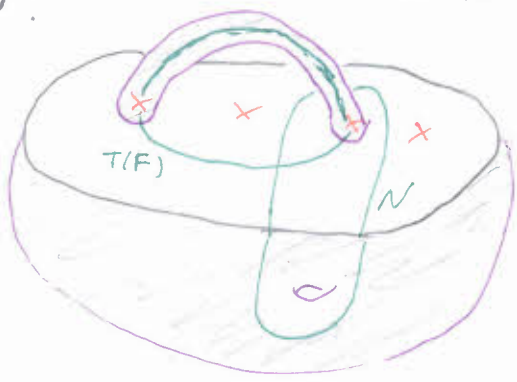
Σ : surface orientée
 a, B : courbes fermées simples, $a \cap B = \emptyset$

$\exists d \rightsquigarrow \hat{d}$ isotopie avec $\# \{ \hat{d} \cap B \} < \# \{ d \cap B \}$



Cor: La même équivalence pour $d=N$ & $B=T(F)$.

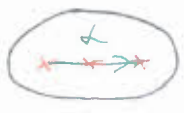
□ On ferme N & $T(F)$:



à faire \rightarrow Lemme principal: $L(h) = 0 \Rightarrow \langle N, h(F) \rangle = \langle N, F \rangle$.

b) Preuve du Thm 2.

□ Soit $L(h) = 0$. Alors $\forall i \notin \{j, j+1\}$, on a $\langle N_i, h(F_j) \rangle = \langle N_i, F_j \rangle = 0$.

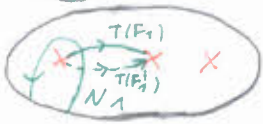


$h(d) \rightsquigarrow \pm d$
œn de Bigones $\Rightarrow h = T_{\delta}^k$, $k \in \mathbb{Z}$ ou $\frac{\mathbb{Z}}{2}$ si $n=2$.
twist de Dehn



$-1 = \langle N_1, F_1 \rangle = \langle N_1, T_{\delta}^k(F_1) \rangle = -|q| + |2k|$

$\Rightarrow k=0 \Rightarrow h = \text{Id}$ □



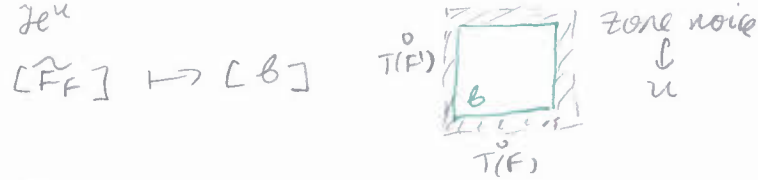
③ Lemme principal.

Preuve naïve: $L(h) = 0 \Rightarrow h$ agit trivialement sur $\mathcal{H} \Rightarrow h \widehat{\Sigma}_F = \widehat{\Sigma}_F$

$$\langle N, h(F) \rangle = \sum_{a,b} \langle q^a t^b \widehat{\Sigma}_N, h \widehat{\Sigma}_F \rangle = \langle N, F \rangle.$$

PB: $\widehat{\Sigma}_F$ vit dans \mathcal{H}^u , pas dans \mathcal{H} !

Solution (Big'01): $\dots \rightarrow M_2(\widehat{\mathcal{E}}) \xrightarrow{\mathcal{H}} M_2(\widehat{\mathcal{E}}, \widehat{u}) \xrightarrow{\mathcal{H}} M_1(\widehat{u}) \rightarrow \dots$



Lemme à ressort: $(q^{-1}-1)^2(1+q^{-1}t) [B] = 0$.

(dans Big'03, $q^{-1}t \mapsto q$).

□



"chasse aux lacets" ☒

Cre: $\exists \mathcal{H} \rightarrow \mathcal{H}^u$

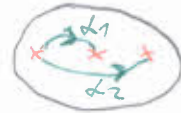
$$[\widehat{\Sigma}_F] \mapsto \frac{(q^{-1}-1)^2(1+q^{-1}t) [\widehat{C}_F]}{P(q,t)}$$

$$\Rightarrow P \cdot \langle N, F \rangle = P \cdot \langle N, h(F) \rangle \xRightarrow{\pi} \langle N, F \rangle = \langle N, h(F) \rangle$$

∧ sans diviseurs de zéro

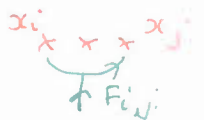
Rmq: • on peut décrire $[\widehat{\Sigma}_F]$ explicitement

(? cf. $\widehat{\Sigma}_{d_1, d_2}^2 = (1-q)^2(1+qt) \widehat{S}_{d_1, d_2}$



?)

• Big'01: $[\widehat{\Sigma}_{F_{ij}}^i], i < j$, forment une base de \mathcal{H}



④ sur le couplage $\langle N, F \rangle$

$$\langle N, F \rangle := \langle \widehat{\Sigma}_N, \widehat{\Sigma}_F \rangle = \frac{1}{P(q,t)} \langle \widehat{\Sigma}_N, \widehat{\Sigma}_F^i \rangle$$

• $\widehat{\Sigma}_N$ fermée dans $\widehat{\mathcal{E}} \Rightarrow \widehat{\Sigma}_N \cdot v$ bien déf. $\forall v \in \mathcal{H}$

• La somme dans $\langle \widehat{\Sigma}_N, \widehat{\Sigma}_F \rangle$ est finie, car s'exprime en termes des $\{z_i\} = N \cap T(F)$